

## АНИЗОТРОПИЯ ФОТОУПРУГОСТИ В КРИСТАЛЛАХ GaSe

© Н.С.Аверкиев, Ю.В.Илисавский, Л.А.Кулакова

Физико-технический институт им. А.Ф. Иоффе Российской академии наук,  
194021 Санкт-Петербург, Россия

(Поступила в Редакцию 12 июля 1996 г.)

Методом брэгговской дифракции света на звуке определены компоненты тензора фотоупругости  $r_{33}$ ,  $r_{31}$  и  $r_{13}$  как вблизи от края фундаментального оптического поглощения, так и вдали от него (включая инфракрасную область —  $\lambda = 10.6\mu$ ). Обнаружена большая анизотропия величин и дисперсионных зависимостей фотоупругости. Данные анализируются в рамках модели виртуальных электронных и экситонных переходов, вдали от края учтены вклад оптических фононов. Из сравнения с экспериментом получены значения дипольных матричных элементов, изменения их с деформацией, констант деформационного потенциала, а также констант Грюнайзена оптических фононных ветвей.

Слоистые кристаллы, т. е. кристаллы с выраженной анизотропией механической прочности, представляют собой удобный объект для изучения анизотропии сил связи в твердом теле. Как показано в ряде теоретических и экспериментальных исследований, наличие такой анизотропии проявляется в упругих, тепловых, оптических и других свойствах кристаллов, имея зачастую настолько яркий характер, что позволяет говорить о двумерности их строения [1].

Целью работы является выявление нового аспекта проблемы — роли анизотропии сил связи в фотоупругом эффекте. Поскольку характер сил связи определяется строением электронных оболочек составляющих кристалл атомов, то в слоистых кристаллах должна существовать анизотропия распределения электронной плотности. При различных деформациях и поляризациях падающего света можно ожидать значительных различий в эффективности его рассеяния звуком. Отсюда интерес к определению полного тензора фотоупругих модулей, соотношение которых характеризует анизотропию сил связи кристаллов. При этом существенную роль играют величины эффективных масс и дипольных межзонных матричных элементов. Результаты таких исследований позволяют уточнить общую картину электронных зон и оценить параметры зонной структуры слоистых материалов.

Ранее опубликованы две работы [2,3], в которых приведены данные о дисперсии фотоупругих свойств слоистых кристаллов GaSe и GaS вблизи края оптического поглощения, полученные методом Мандельштамм-Бриллюеновского рассеяния (МБР). Авторы [2] из МБР на тепловых фононах получили данные о дисперсии фотоупругого модуля  $|r_{13}|$ , используя изменение ширины запрещенной зоны с

температурой. В работе [3], впрыскивая в образец акустический домен (образованный усилением тепловых акустических фононов в CdS), авторы получили частотные зависимости сечения рассеяния, определяемого фотоупругим модулем  $p_{66}$ . Однако вопрос о проявлении анизотропии сил связи в фотоупругом эффекте вообще никак не затронут. К тому же результаты численных расчетов в [3] нуждаются в уточнении, так как использованные формулы некорректны в случае частично когерентного пакета упругих волн, каковым является акустический домен [4].

Наши предварительные измерения [5] показали, что расширение спектрального диапазона измерений позволяет выявить характерную для GeSe сильную анизотропию фотоупругих модулей и их дисперсионных зависимостей. В настоящей работе дано теоретическое рассмотрение фотоупругого эффекта в GaSe и показано, что наблюдаемые экспериментальные зависимости требуют для своего объяснения наличия существенной анизотропии приведенных эффективных масс экситонов в GaSe.

## 1. Анализ дисперсии диэлектрической проницаемости GaSe

Дисперсия диэлектрической проницаемости полупроводников вблизи края фундаментального оптического поглощения определяется виртуальными электронными переходами между ближайшими зонами. Установлено [1,6], что селенид галлия — непрямозонный полупроводник

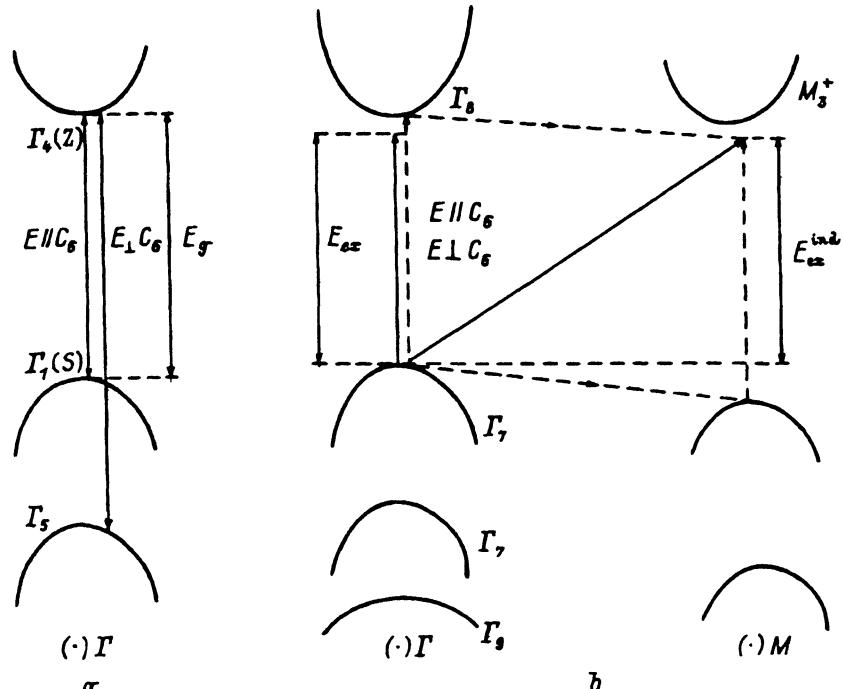
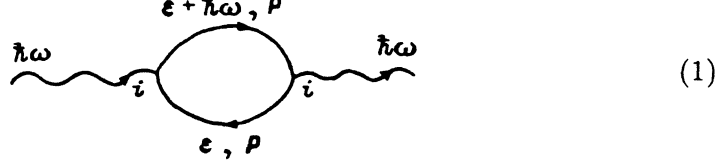


Рис. 1. Схема энергетической структуры зон GaSe.

ник, причем минимум зоны проводимости имеет место в точке  $M$  на границе зоны Бриллюэна (рис. 1), в то время как вершина валентной зоны расположена в центре зоны Бриллюэна в точке Г. Однако ширина запрещенной зоны в точке Г незначительно превосходит энергию непрямого перехода (значения разницы ширины запрещенной зоны в точках Г и  $M$  неодинаковы у разных авторов [3,6] и имеют величину порядка нескольких десятков meV), поэтому ряд оптических явлений определяется, в первую очередь, вертикальными переходами при  $k = 0$  ( $k$  — волновой вектор света). Учет непрямых переходов, возможных только при участии фононов, необходим лишь в области непосредственной близости к переходу.

В данной работе исследованы монокристаллы  $\epsilon$ -GaSe, относящиеся к гексагональной сингонии ( $D_{3h}$ ). Без учета спин-орбитального взаимодействия волновая функция в зоне проводимости преобразуется по представлению  $\Gamma_4$  группы  $D_{3h}$  (т. е. как функция  $Z$ ). В вершине валентной зоны симметрия волновой функции —  $\Gamma_1$ . На энергетическом расстоянии  $\sim 0.3\text{eV}$  имеется (рис. 1, а) еще одна зона, в вершине которой волновая функция преобразуется по  $\Gamma_5$ -представлению, т. е. как поперечные компоненты псевдовектора  $J_x$  и  $J_y$ . Такая зонная структура означает, что переход  $\Gamma_1 \rightarrow \Gamma_4$  разрешен только для вектора поляризации  $E \parallel C_6$ , а переход  $\Gamma_5 \rightarrow \Gamma_4$  — для  $E \perp C_6$ . Сpin-орбитальное взаимодействие смешивает состояния зон при  $k = 0$ , в результате чего волновые функции в зоне проводимости преобразуются по  $\Gamma_8$ -представлению, а в вершине валентной зоны по  $\Gamma_7$ -представлению. Уровни, которые относились к  $\Gamma_5$ -представлению, с учетом спин-орбитального взаимодействия расщепляются на два терма  $\Gamma_7$  и  $\Gamma_9$ . При этом переход  $\Gamma_7 \rightarrow \Gamma_8$  становится разрешенным (рис. 1, б) для любой ориентации вектора электрического поля  $E$  световой волны относительно гексагональной оси  $C_6$ . Вычисление вкладов конкретных переходов в диэлектрическую проницаемость можно свести к вычислению поляризационного оператора



или использованию теории линейного отклика [7]. Такие вычисления приводят к аналогичному с [7] выражению для главных значений тензора диэлектрической проницаемости  $\epsilon_{ii}$ :

$$\epsilon_{ii} = 4P_i^2 \frac{e^2 \mu_{\perp} \sqrt{2\mu_{||}}}{m_0^2 \hbar^3 \omega^2} (2\sqrt{E_g} - \sqrt{E_g - \hbar\omega} - \sqrt{E_g + \hbar\omega}), \quad E_g > \hbar\omega. \quad (2)$$

Здесь  $i = 1(x)$ ,  $2(y)$  или  $3(z)$ ;  $P_i$  — матричный элемент дипольного межзонного перехода;  $\mu_{\perp,||}$  — поперечная и продольная приведенные массы электрона и дырки;  $e$  и  $m_0$  — заряд и масса свободного электрона;  $\hbar\omega$  — энергия фотона;  $E_g$  — ширина запрещенной зоны в точке Г. Выражение (2) получено в предположении о параболическом законе дисперсии энергетических зон.

Кроме электронных переходов в дисперсию диэлектрической проницаемости дают вклад переходы с образованием экситонных состояний. Роль таких переходов особенно существенна в области экситонного резонанса с энергией излучения  $\hbar\omega = E_{ex}$  (где  $E_{ex}$  — энергия экситона). В тех же приближениях, что использовались при выводе формулы (2), получаем вклад в диэлектрическую проницаемость прямого экситонного перехода для ближайших зон при учете только основного экситонного состояния (вклад остальных состояний несущественен):

$$\varepsilon_{ii}^{ex} = \frac{\pi e^2}{m_0^2 \omega^2} \Phi^2(0) P_i^2 \left\{ \frac{1}{E_g - E_{ex}^0 - \hbar\omega} + \frac{1}{E_g - E_{ex}^0 + \hbar\omega} - \frac{2}{E_g - E_{ex}^0} \right\}, \quad (3)$$

где  $\Phi(0)$  — значение волновой функции экситона в нуле в основном состоянии,  $E_{ex}^0$  — энергия связи экситона ( $E_{ex}^0 = E_g - E_{ex}$ ).

Однако роль электронно-дырочного взаимодействия не сводится к учету только экситонных переходов. Кроме них за счет кулоновского взаимодействия изменяется вклад в диэлектрическую проницаемость и от переходов с энергиями, большими ширины запрещенной зоны. Как известно, в коэффициенте поглощения света (т. е. в мнимой части  $\varepsilon$ ) при  $\hbar\omega > E_g$  учет этого взаимодействия сводится к увеличению исходного коэффициента поглощения на множитель Зоммерфельда, что приводит к ненулевому поглощению света при  $\hbar\omega = E_g$ . Для действительной части диэлектрической проницаемости анизотропного кристалла типа GaSe получить точное выражение с учетом кулоновского взаимодействия не удается, поэтому мы поступим подобно [8]. В этой работе для получения простых аналитических зависимостей использовался упрощенный вид частотной зависимости коэффициента поглощения света, а затем действительная часть  $\hat{\varepsilon}$  восстанавливалась с помощью соотношения Крамерса–Кронига. Соответствующий вклад в  $\varepsilon_{ii}$  для анизотропного одноосного кристалла может быть записан в виде:

$$\varepsilon_{ii}^{el} = P_i^2 \frac{e^2 \mu_\perp \sqrt{2\mu_{||}}}{m_0^2 \hbar^3 \omega^2} \sqrt{E_{ex}^0} \ln \frac{E_g^2}{(E_g - \hbar\omega)(E_g + \hbar\omega)}, \quad E_g > \hbar\omega. \quad (4)$$

Кроме рассмотренных выше прямых оптических переходов диэлектрическая проницаемость может определяться и непрямыми оптическими переходами, а точнее, переходами с участием непрямых экситонов. Для определения этого вклада в  $\varepsilon_{ii}$  необходимо вычислить поляризационный оператор типа (1), в котором кроме электронных линий имеется и фоновая линия, соединяющая вершины этой диаграммы. Для прояснения вопроса о величине соответствующего вклада проще всего рассматривать переходы с участием фононов, частота которых не зависит от квазимпульса. Тогда с учетом процессов поглощения и испускания фононов с равновесной функцией распределения  $N$  вклад в  $\hat{\varepsilon}$ , обусловленный непрямыми оптическими переходами с участием экситонных состояний, имеет «электроноподобный» вид [9]

$$\varepsilon_{ii}^{ind} = \varepsilon_{ii}^- + \varepsilon_{ii}^+, \quad (5)$$

где

$$\varepsilon_{ii}^- = A_i \left( 2\sqrt{E_{ex}^{ind} - \hbar\Omega} - \sqrt{E_{ex}^{ind} - \hbar\Omega - \hbar\omega} - \sqrt{E_{ex}^{ind} - \hbar\Omega + \hbar\omega} \right) (N + 1), \quad (6)$$

для процессов с испусканием фона (  $E_{ex}^{ind} - \hbar\Omega > \hbar\omega$  ) и

$$\varepsilon_{ii}^+ = A_i \left( 2\sqrt{E_{ex}^{ind} + \hbar\Omega} - \sqrt{E_{ex}^{ind} + \hbar\Omega - \hbar\omega} - \sqrt{E_{ex}^{ind} + \hbar\Omega + \hbar\omega} \right) N, \quad (7)$$

при поглощении фона (  $E_{ex}^{ind} + \hbar\Omega > \hbar\omega$  ).

В случаях, когда  $E_{ex}^{ind} \pm \hbar\Omega < \hbar\omega$ , формулы для  $\varepsilon_{ii}^\mp$  отличаются от (6) и (7) отсутствием слагаемого  $\sqrt{E_{ex}^{ind} + \hbar\Omega - \hbar\omega}$ . Параметр  $A_i$  зависит от свойств фона, от ориентации вектора  $\mathbf{E}$  относительно гексагональной оси и от анизотропии приведенных эффективных масс электронов в точке  $M$  зоны проводимости и дырок в точке  $\Gamma$  валентной зоны,  $E_{ex}^{ind}$  — энергия непрямого экситона, численно равная разности энергии непрямого перехода и энергии связи экситона. Учет конечно-го времени жизни фона выполним феноменологически, заменив в (6), (7)  $\hbar\Omega$  на  $\hbar\Omega - i\Gamma$ , где  $\hbar/\Gamma$  — время жизни фона. Тогда выражение для вещественной части  $\varepsilon_{ii}^\mp$  имеет вид

$$\varepsilon_{ii}^- = \frac{A_i}{\sqrt{2}} \left\{ 2\sqrt{\sqrt{E_g'^2 + \Gamma^2} + E_g'} - \sqrt{\sqrt{(E_g' - \hbar\omega)^2 + \Gamma^2} + (E_g' - \hbar\omega)} - \right. \\ \left. - \sqrt{\sqrt{(E_g' + \hbar\omega)^2 + \Gamma^2} + (E_g' + \hbar\omega)} \right\} (N + 1), \quad E_g' = E_{ex}^{ind} - \hbar\Omega, \quad (8)$$

$$\varepsilon_{ii}^+ = \frac{\varepsilon_{ii}^-(E_g''N)}{N + 1}, \quad \text{где} \quad E_g'' = E_{ex}^{ind} + \hbar\Omega. \quad (9)$$

Все рассмотренные выше вклады в  $\hat{\varepsilon}$  относились к электронной подсистеме. При удалении от края оптического поглощения необходимо учитывать возможный вклад в поляризуемость оптических фонаров

$$\varepsilon_{ii}^{ph} = \sum_k \frac{\varepsilon_{ii}^{\infty} - \varepsilon_{ii}^0}{1 - (\omega/\omega_0^k)^2}, \quad (10)$$

где  $\omega_0^k$  — характерные частоты оптических фонаров.

## 2. Методика и результаты эксперимента

В качестве объекта исследования нами выбран монокристаллический  $\varepsilon$ -GaSe. Оптически однородные образцы размером  $4 \times 4 \times 6 \text{ mm}^3$  подвергались тонкой механической обработке. Границы, параллельные слою, создавались отщеплением слоев, перпендикулярные — резкой с последующей тонкой шлифовкой и оптической полировкой.

В данной работе нами измерены компоненты  $p_{33}$ ,  $p_{31}$  и  $p_{13}$  тензора фотоупругих модулей  $p_{ik}$  ( $i, k = 1, 2, \dots, 6$ ,  $i$  — индекс поляризации света,  $k$  — индекс деформации в матричной записи) в широком диапазоне спектра, включая область вблизи края фундаментального оптического поглощения. В измерениях использовался метод брэгговской дифракции света на акустической волне в модификации Диксона [10, 11].

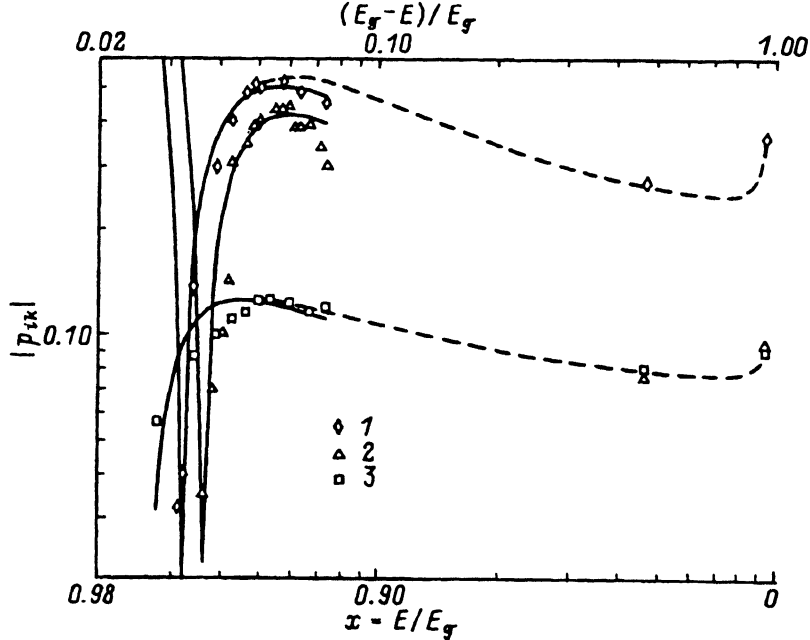


Рис. 2. Дисперсионные зависимости модулей фотоупругих коэффициентов  $p_{ik}$ . Точки — эксперимент: 1 —  $p_{33}$ , 2 —  $p_{31}$ , 3 —  $p_{13}$ ; при  $(E_g - \hbar\omega)/E_g < 0.1$   $E_g = E_g(T)$ ,  $\lambda = 0.63 \mu$ , при  $(E_g - \hbar\omega)/E_g > 0.1$   $E_g = E_g(T = 300 \text{ K}) = \text{const}$ ,  $\lambda = 1.15, 10.6 \mu$ . Линии — теория: сплошные —  $E_g = E_g(T)$ , штриховые —  $E_g = E_g(T = 300 \text{ K}) = \text{const}$ .

с монокристаллом GaP в качестве эталона. Продольные константы  $p_{33}$ ,  $p_{13}$  измерялись на продольном звуке, распространяющемся вдоль оси  $C_6$  (параллельно слою),  $p_{31}$  — на продольном звуке, распространяющемся перпендикулярно оси  $C_6$  (вдоль слоя). Акустические волны возбуждались резонансным пьезопреобразователем из ниобата лития, приклеиваемым к соответствующей грани образца посредством Napaq Stopcock Grease. Использовались как основная частота преобразователя, так и его высшие гармоники. Для удовлетворения условиям брэгговской дифракции частота звука при различных  $\lambda$  изменялась от 30 MHz для  $\lambda = 10.6 \mu$  до 300 MHz — для  $\lambda = 0.63 \mu$ . Частотные зависимости  $p_{ik}$  вблизи края поглощения ( $(E_g - E)/E_g < 0.1$ ) получены при неизменной длине волны света ( $\lambda = 0.63 \mu$ ) благодаря увеличению ширины запрещенной зоны  $E_g(T)$  при охлаждении до  $T = 100 \text{ K}$ . Для измерений использовался оптический криостат с холодным пальцем. Данные о температурной зависимости ширины запрещенной зоны и дисперсии коэффициента преломления света взяты нами из работ [12] и [13]. Вдали от края значения  $p_{ik}$  получены из рассеяния света с  $\lambda = 1.15$  и  $10.6 \mu$  при комнатной температуре. Значения коэффициента преломления  $n_{||} = 2.45$ ,  $n_{\perp} = 2.78$  при  $\lambda = 1.15 \mu$  и  $n_{||} = 2.4$ ,  $n_{\perp} = 2.74$  при  $\lambda = 10.6 \mu$  получены нами экстраполяцией данных работы [13]. В качестве источников излучения использовались He-Ne- и CO<sub>2</sub>-лазеры. Для проверки надежности получаемых данных проводились как абсолютные (с использованием эталона), так и относительные (имеется в виду получение значений соответствующих  $p_{ik}$  из соотношения интен-

сивностей рассеянного света, возникающего при изменении температуры, длины волн света или повороте поляризации света) измерения. Воспроизводимость значений  $p_{ik}$ , полученных таким образом, лежала в пределах погрешности эксперимента ( $\pm 5\%$ ).

Измеренные таким образом зависимости соответствующих модулей  $|p_{ik}|$  представлены на рис. 2. Из этого рисунка видно, что наиболее сильно модуляция поляризуемости осуществляется перпендикулярно плоскости слоя продольной акустической волной, распространяющейся в том же направлении ( $p_{33}$ ). Вблизи края оптического поглощения влияние на эту составляющую поляризуемости продольной деформации в слое ( $p_{31}$ ) также велико, причем в области максимума  $p_{33} \approx p_{31}$ . Что касается поляризуемости в слое ( $E \perp C_6$ ), то влияние на нее деформации и соответствующая величина  $p_{13}$  существенно меньше.

С приближением к инфракрасной области ( $\lambda = 10.6 \mu$ ) наблюдается возрастание всех значений  $p_{ik}$ . Это позволяет предположить, что в этой области частот уже ощущается вклад в диэлектрическую проницаемость, который дают оптические фононы.

### 3. Обсуждение результатов

Фотоупругий эффект является следствием модуляции диэлектрической проницаемости деформацией  $S_{kl}$  [14,15]

$$\Delta \varepsilon_{ij} = -\varepsilon_{ii}\varepsilon_{jj}p_{ijkl}S_{kl}. \quad (11)$$

Переходя к матричной записи и дифференцируя формулы для  $\varepsilon_{ii}$  с использованием (4)–(6), (9)–(11), можно получить выражение для соответствующих  $p_{ik}$  с учетом всех рассмотренных выше вкладов. Поскольку GaSe является пьезоэлектриком, в нем существует косвенный фотоупругий эффект [16], оценки которого показывают, что он мал ( $\sim 10^{-4}$ ).<sup>1</sup> Поэтому в дальнейшем этим вкладом мы пренебрегаем. К аналогичному выводу мы приходим относительно вклада непрямых экситонных переходов: согласно формулам (5), (8), (9), (11), этот вклад в области резонанса имеет величину, не превышающую  $10^{-2}$ .

Проанализируем вклады прямых электронных и экситонных переходов, являющиеся преобладающими вблизи края поглощения. В формулах (4), (5) от деформации зависят как ширина запрещенной зоны  $E_g$ , так и величины дипольных матричных элементов  $P_i$  и приведенных эффективных масс  $\mu$ . В дальнейшем мы предполагаем, что продольная и поперечная приведенные эффективные массы зависят от деформации одинаковым образом. Как показывают наши оценки, это предположение разумно, и оно позволит нам уменьшить число подгоночных параметров при сравнении теории с экспериментом. Тогда выражение для  $p_{ik}$  примет вид

$$p_{ik} = -\frac{1}{\varepsilon_i^2} \left\{ -P_i^2 \Lambda_k m [F(x) + D \cdot G(x)] + (dP_i^2/dS_k)q[f(x) + Dg(x)] + \right. \\ \left. + (d\mu/dS_k) \frac{P_i^2}{\mu_\perp} Q[f(x) + dg(x)] + 2(\varepsilon_i^\infty - \varepsilon_i^0)\Gamma_i(\omega_0^i/\omega)^2 \right\} + p_{ik}^0, \quad (12)$$

<sup>1</sup> Авторы выражают благодарность С.О.Когновицкому, сделавшему теоретические оценки этого вклада.

где  $F(x) = \frac{1}{(1-x)} + \frac{1}{(1+x)} - 2$ ,  $f(x) = \ln \frac{1}{(1-x)(1+x)}$ ,  $x = \hbar\omega/E_g$  характеризуют вклад электронных переходов — ( $p_{ik}^{el}$ ), а

$$G(x) = \frac{1}{(1-\Delta-x)^2} + \frac{1}{(1-\Delta+x)^2} - \frac{2}{(1-\Delta)^2},$$

$$g(x) = \frac{1}{(1-\Delta-x)} + \frac{1}{(1-\Delta+x)} - \frac{2}{(1-\Delta)}, \quad \Delta = E_{ex}^0/E_g$$

— вклад экситонных переходов ( $p_{ik}^{ex}$ ),

$$m = \frac{4e^2\mu_\perp\sqrt{\mu_\parallel}\sqrt{E_{ex}^0}}{m_0^2\hbar^3\omega^2E_g}, \quad q = mE_g, \quad Q = \frac{q}{\sqrt{\mu_\parallel E_{ex}^0}} \sum_{\perp,\parallel} \frac{d(\mu_\perp\sqrt{\mu_\parallel E_{ex}^0})}{d\mu_{\perp,\parallel}},$$

$$D = \frac{8\pi e^2}{m_0^2\omega^2} \frac{\Phi^2(0)}{q}, \quad d = D \frac{q}{Q} \frac{\sum_{\perp,\parallel} \frac{d\Phi^2(0)}{d\mu_{\perp,\parallel}}}{\Phi^2(0)},$$

$$\Delta E_g = \Lambda_3 S_3 + \Lambda_1(S_1 + S_2). \quad (12a)$$

$\Gamma_i$  — константа Грюнайзена, характеризующая изменение частоты оптических мод под влиянием деформации,  $p_{ik}^0$  — бездисперсионный вклад всех дальних зон в фотоупругий модуль.

Важно отметить, что сильная дисперсия  $p_{ik}$  вблизи края поглощения наблюдается в окрестности экситонного резонанса, что свидетельствует в пользу решающего влияния экситона. Как видно из (12), для оценки соотношения электронного и экситонного вкладов необходимо знать величину  $\Phi^2(0) = \Phi_1^2(0)/(a_B^*)^3$ . Гамильтониан, описывающий относительное движение электрона и дырки в экситоне в одноосном анизотропном кристалле, может быть записан в следующем виде [7]:

$$\gamma \frac{d^2\Phi_1}{dz^2} + \frac{d^2\Phi_1}{dx^2} + \frac{d^2\Phi_1}{dy^2} - \frac{2\Phi_1}{r} = E(\gamma), \quad (13)$$

где все координаты измеряются в единицах эффективного боровского радиуса  $a_B^* = \hbar^2\sqrt{\epsilon_\perp\epsilon_\parallel}/\mu_\perp e^2$ , энергии  $E(\gamma)$  — в единицах  $E_B^* = \mu_\perp e^4/2\hbar^2\epsilon_\parallel\epsilon_\perp$ . Для основного состояния экситона вариационный расчет дает значение

$$E(\gamma) = \frac{2}{3a_\perp^2} + \frac{\gamma}{3a_\parallel a_\perp} - \frac{2 \arcsin \sqrt{1-a_\parallel/a_\perp}}{a_\perp \sqrt{1-a_\parallel/a_\perp}}, \quad (14)$$

а параметр  $\gamma$  определяется анизотропными свойствами селенида галлия

$$\gamma = \mu_\perp\epsilon_\perp/\mu_\parallel\epsilon_\parallel. \quad (15)$$

Решение (13) дает значение

$$\Phi_1^2(0) = 1/\pi a_{\parallel} a_{\perp}^2, \quad (16)$$

где  $a_{\parallel}$ ,  $a_{\perp}$  — характерные относительные (в единицах  $a_B^*$ ) размеры экситонной волновой функции вдоль и поперек гексагональной оси соответственно. На рис. 3 представлены зависимости  $a_{\parallel}$  и  $a_{\perp}$  от параметра анизотропии  $\gamma$ , полученные нами с использованием соответствующих соотношений из [7] (стр. 340). Из этого рисунка видно, что уменьшение сил связи между слоями, ведущее к увеличению анизотропии эффективных масс ( $\gamma \rightarrow 0$ ), приводит к уменьшению размера экситона не только вдоль оси  $C_6$  ( $a_{\parallel}$ ), но и внутри слоя ( $a_{\perp}$ ). Можно сказать, что уменьшение  $\gamma$  эквивалентно двумеризации относительного движения электрона и дырки в экситоне. Такое уменьшение размерности пространства приводит к увеличению относительной вероятности рекомбинации электрона и дырки и, следовательно, к увеличению экситонного вклада в диэлектрическую проницаемость. Вычисляя  $\gamma$ , можно оценить вклады в  $p_{31}$  от межзонных экситонных и электронных переходов для случаев различной анизотропии эффективных масс. Судя по литературным данным [17–19], проблема анизотропии эффективных масс в кристаллах GaSe до сих пор остается открытой. Например, авторы [17, 18] приходят к выводу о том, что такая анизотропия практически отсутствует ( $\mu_{\parallel} \simeq 0.14m_0$ ,  $\mu_{\perp} \simeq 0.12m_0$ ), в то время как в [19] анизотропия предполагается весьма значительной ( $\mu_{\parallel}/\mu_{\perp} \simeq 5$ ,  $\mu_{\perp} \simeq 0.14m_0$ ).

Численные оценки коэффициентов  $D$  и  $d$  с использованием выражений (12а), (14)–(16) и данных рис. 3 показывают, что их значения отличаются незначительно ( $d/D = 1-1.15$  при  $\gamma = 1-0.2$ ). Поэтому с достаточной степенью точности можно считать  $d = D$ . Тогда выражение (12) принимает вид

$$p_{ik} = -\frac{1}{\varepsilon_i^2} \left\{ -P_i^2 \Lambda_k m [F(x) + DG(x)] + M_{ik} q [f(x) + Dg(x)] + 2(\varepsilon_i^{\infty} - \varepsilon_i^0) \Gamma_i (\omega_0^i / \omega)^2 \right\} + p_{ik}^0, \quad (17)$$

где

$$M_{ik} = \frac{dP_i^2}{dS_k} + \frac{\partial \mu}{dS_k} \frac{P_i^2}{\mu_{\perp}} \frac{Q}{q}.$$

Первый член в (17) характеризует сильный резонанс и возникает из-за модуляции деформацией ширины запрещенной зоны, второй — слабый резонанс — возникает за счет зависимости от деформации дипольных матричных элементов и приведенных эффективных масс. Поскольку дисперсионные зависимости этих членов имеют противоположный знак, то, если  $\Lambda_k$  и  $M_{ik}$  одного знака, эти вклады вблизи края

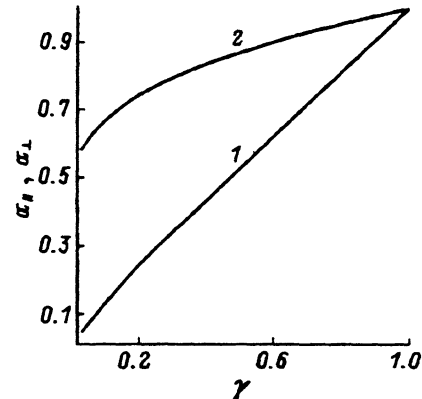


Рис. 3. Зависимости радиусов экситона от параметра анизотропии.  
1 —  $a_{\parallel}$ , 2 —  $a_{\perp}$ .

фундаментального поглощения являются конкурирующими. Сильным резонансом определяется дисперсия  $p_{ik}$  в непосредственной близости от края, в то время как при удалении от края доминирующим становится второй член (17) до тех пор, пока не проявляется влияние оптических фонов.

Соотношение же электронного и экситонного вкладов, как уже упоминалось, определяется коэффициентом  $D$ , величина которого существенным образом зависит от значения  $\Phi^2(0)$ .

Проведем теперь анализ экспериментальных данных относительно  $p_{33}$ ,  $p_{13}$ ,  $p_{31}$  вблизи края поглощения. Как видно из (12),  $p_{33}$  и  $p_{13}$  различаются только квадратами матричных элементов  $P_i^2$ . Согласно нашим экспериментальным данным (рис. 2), наклон дисперсионных зависимостей  $p_{33}$  и  $p_{13}$  отличается на порядок, что хорошо согласуется с данными по оптическому поглощению [20], из которых следует, что переход с  $E \parallel C_6$  на порядок интенсивней оптического перехода с  $E \perp C_6$  вблизи фундаментального края. Другой яркой особенностью эффекта фотоупругости является сильная частотная зависимость  $p_{31}$  (рис. 2). Наши расчеты ( $E_g = 2.02 \text{ eV}$ ,  $E_{ex}^0 = 0.03 \text{ eV}$ ) показывают, что экспериментальные данные вблизи края могут быть описаны только с помощью экситонного вклада в  $\epsilon$ , обладающего существенно большей дисперсией по сравнению с электронным.

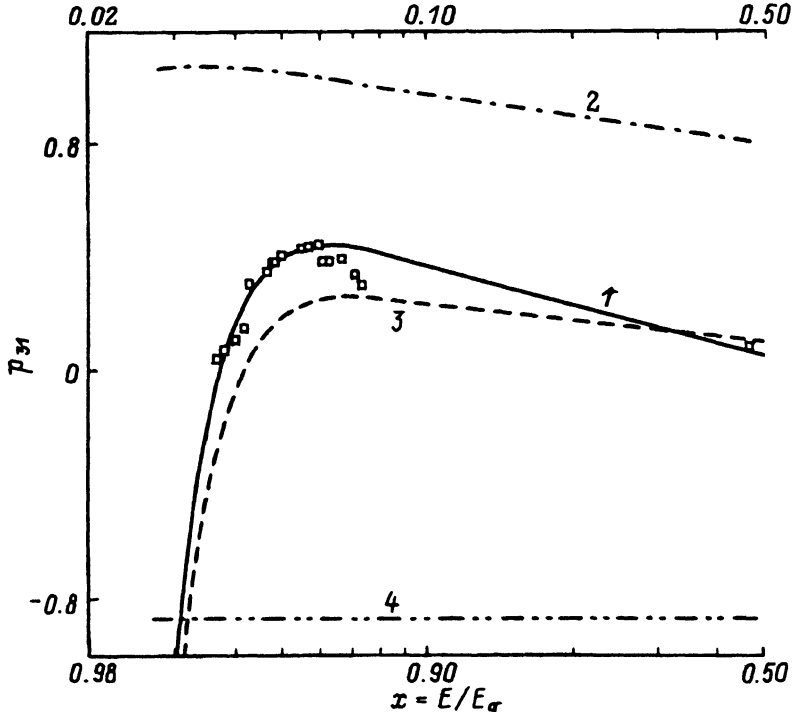


Рис. 4. Дисперсионная зависимость фотоупругого коэффициента  $p_{31}$  (изотропный случай,  $\gamma = 1$ ).

Точки — эксперимент, линии — теория: 1 —  $p_{31}^{el} + p_{31}^{ex} + p_{31}^0$ , 2 —  $p_{31}^{el}$ , 3 —  $p_{31}^{ex}$ , 4 —  $p_{31}^0$ .

Значения параметров ближних зон, бездисперсионного вклада в фотоупругий эффект ( $p_{ik}$ ) и констант Грюнайзена ( $\Gamma_{ik}$ ) оптических ветвей, вносящих вклад в фотоупругость GaSe;  $\gamma = 0.26$ ,  $M_{ik} = \frac{dP_1^2}{dS_k} + \frac{\partial \mu}{dS_k} \frac{P_1^2}{\mu_\perp q}$

$ik$	$\Lambda_{ik}$ , eV	$P_1^2, 10^{-29} g \cdot eV$	$M_{ik}, 10^{-29} g \cdot eV$	$p_{ik}^0$	$\Gamma_{ik}$
13	6	3	7.6	-0.056	2
33	6	29	43	-0.02	10
31	-10	29	-68	-0.31	-5

Расчет значения коэффициента  $D$  (со значениями  $\mu_{||}$  из [17]) показывает, что в изотропном случае ( $\gamma \approx 1$ ) экситонный вклад в фотоупругость составляет лишь 0.012 от электронного вклада. Поэтому для того чтобы согласовать экспериментально наблюдаемую дисперсию  $p_{31}$  с результатами расчета, приходится брать величины  $P_3^2$  и  $M_{ik}$  столь большими, что соответствующий электронный вклад в  $p_{31}$  приобретает неправдоподобно большую величину  $\approx 1$ , которую приходится компенсировать близким по величине и обратным по знаку вкладом дальних зон  $p_{31}^0$  (рис. 4).

В то же время при большой анизотропии ( $\gamma \approx 0.26$  [19]) относительная роль экситонного вклада возрастает примерно в 4 раза, как это можно видеть из выражения для  $D$  (12a). При этом величины  $P_3^2$  и  $M_{ik}$ , дающие согласие с экспериментом, уменьшаются в несколько раз и соответственно  $p_{31}^{el}$  и  $p_{31}^0$  приобретают разумные значения  $\sim 0.3$  (рис. 5).

Таким образом, анизотропные свойства GaSe ярко проявляются в дисперсионной зависимости  $p_{31}$  и приводят к тому, что экситонный вклад играет определяющую роль в дисперсии вблизи края поглощения. Результаты расчета для констант  $p_{33}$ ,  $p_{13}$ ,  $p_{31}$  с параметрами, представленными в таблице, хорошо согласуются с экспериментальными данными (рис. 2) вблизи края поглощения. Отношение полученных таким способом значений  $P_1^2$  и  $P_3^2$  близко к вычисленному из данных [20] по оптическому поглощению ( $P_3^2/P_1^2 \sim 10$ ), и значения  $\Lambda_1$  и  $\Lambda_3$  практически совпадают с величиной и соотношением этих констант, полученных в работах по смещению экситонных линий под влиянием давления [21, 22]. Если учесть, что  $\Lambda_3 > 0$  [21], а  $\Lambda_1 < 0$  [22], то можно утверждать, что  $p_{33}$  и  $p_{13} < 0$ , а  $p_{31} > 0$ .

Для объяснения поведения  $p_{ik}$  вдали от края оценим возможное влияние оптических фононов на фотоупругий эффект (третье слагаемое в выражении для  $p_{ik}$  (12)). Для этого мы воспользуемся экспериментальными данными ( $\omega_0^3 = 230 \text{ cm}^{-1}$ ,  $\omega_0^1 = 237 \text{ cm}^{-1}$ ,  $\epsilon_1^\infty = 7.45$ ,  $\epsilon_1^0 = 9.8$ ,  $\epsilon_3^\infty = 7.1$ ,  $\epsilon_3^0 = 7.6$ ), полученными из дисперсионных зависимостей диэлектрической проницаемости в инфракрасной области спектра [23]. Результаты расчета  $p_{ik}$  с учетом всех вкладов, включая и вклад оптических фононов, с параметрами, приведенными в таблице, хорошо согласуются с экспериментом (рис. 2) во всем исследованном интервале оптического спектра. Из рисунка видно, что использование метода температурного изменения ширины запрещенной зоны для исследования поведения  $p_{ik}$  (сплошные линии) вблизи края поглощения дает до-

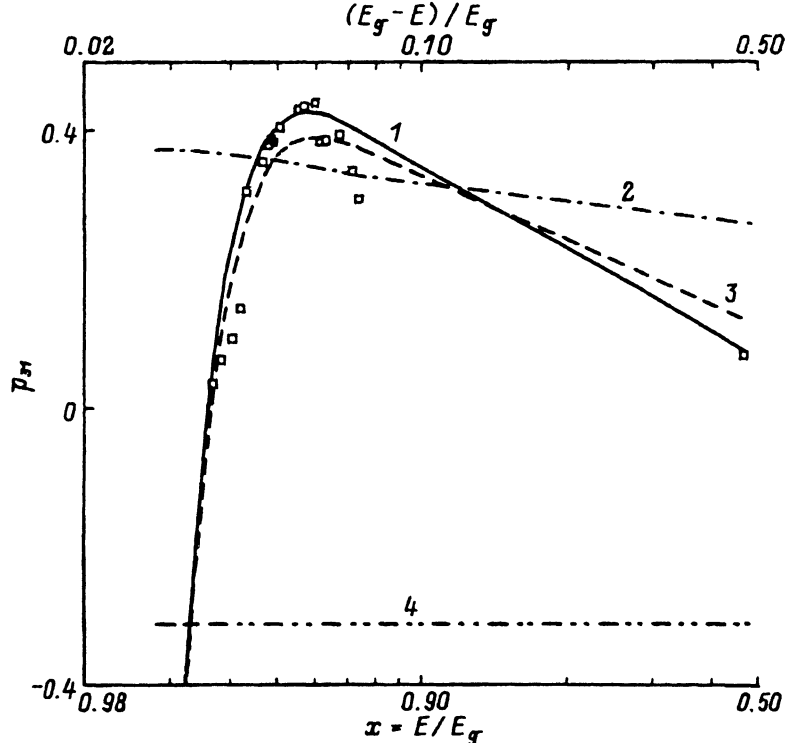


Рис. 5. Дисперсионная зависимость фотоупругого коэффициента  $p_{31}$  (анизотропный случай,  $\gamma = 0.26$ ).

Точки — эксперимент, линии — теория: 1 —  $p_{31}^{el} + p_{31}^{ex} + p_{31}^0$ , 2 —  $p_{31}^{el}$ , 3 —  $p_{31}^{ex}$ , 4 —  $p_{31}^0$ .

статочно точное представление об их дисперсионных свойствах (штриховые линии).

В работе получены экспериментальные данные о значениях компонент тензора фотоупругости GaSe  $p_{33}$ ,  $p_{31}$  и  $p_{13}$  как в непосредственной близости, так и вдали (вплоть до средней ИК-области) от края фундаментального поглощения. Эти данные обнаруживают большую анизотропию как величины, так и дисперсионных зависимостей фотоупругого тензора вблизи края поглощения. Вдали от края наблюдается рост значений всех компонент тензора.

Для анализа механизмов фотоупругости привлечена модель виртуальных электронных и экситонных переходов (вблизи от края), а также учтен вклад оптических фононов в фотоупругость (вдали от края).

В результате обнаружено, что анизотропия приведенных эффективных масс электрона и дырки существенным образом определяет соотношение вкладов в  $p_{ik}$  от прямых электронных и экситонных переходов; наблюдавшаяся на эксперименте дисперсия вблизи края может быть объяснена лишь при наличии большой анизотропии ( $\mu_{\parallel}/\mu_{\perp} \sim 5$ ) эффективных масс.

Рост  $p_{ik}$  вдали от края удовлетворительно объясняется влиянием оптических фононов на фотоупругий эффект.

Из сравнения теории с экспериментом получены оценки значений дипольных матричных элементов, изменения их с деформацией, констант деформационного потенциала, а также констант Грюнайзена оптических фононных ветвей.

Работа частично поддержана Российским фондом фундаментальных исследований (проект 95-02-04093-а).

### Список литературы

- [1] Г.Л. Беленький, В.Б. Стопачинский. УФН **140**, 2, 233 (1983).
- [2] С. Hamaguchi, K. Wasa, M. Yamawaki. Phonon Scattering in Condensed Matter / Ed. H.J. Maris. Plen. N.Y.-London (1979). P. 441-444.
- [3] S. Adachi, C. Hamaguchi. J. Phys. Soc. Jap. **48**, 6, 1981 (1980).
- [4] В.М. Рысаков, Ю.В. Аристов. ЖТФ **56**, 4, 750 (1986).
- [5] Н.С. Аверкиев, Ю.В. Илисавский, Л.А. Кулакова. Акуст. журн. **40**, 1, 151 (1994).
- [6] M. Schlüter. Nuovo Cimento **13**, 2, 313 (1973).
- [7] Г.Л. Бир, Г.Е. Пикус. Симметрия и деформационные эффекты в полупроводниках. Наука. М. (1972).
- [8] R. Berkowicz, T. Skettrup. Phys. Rev. **B11**, 6, 2316 (1975).
- [9] А.И. Ансельм. Введение в теорию полупроводников. Наука. М. (1978).
- [10] R.W. Dixon. IEEE Trans. **QE-3**, 87 (1967).
- [11] А.М. Дьяконов, Ю.В. Илисавский, Л.А. Кулакова. ФТТ **14**, 1, 95 (1972).
- [12] Ле хан Бинь, В.К. Субашиев. ФТП **4**, 12, 2291 (1970).
- [13] T.A. McMath, J.C. Irwin. Phys. Stat. Sol. (a) **38**, 2, 731.
- [14] Дж. Най. Физические свойства кристаллов. Мир. М. (1967).
- [15] C.W. Higginbotham, M. Cardona, F.H. Pollak. Phys. Rev. **184**, 821 (1969).
- [16] D.F. Nelson, M. Lax. Phys. Rev. **B3**, 2778 (1971).
- [17] E. Mooser, M. Schlüter. Nuovo Cimento **18**, 1, 164 (1973).
- [18] Б.С. Разбираин, А.Н. Старухин, Е.М. Гамарп, М.И. Караман, В.П. Мушинский. Письма в ЖЭТФ **27**, 6, 341 (1978).
- [19] L. Fritsche, F.D. Heidt. Phys. Stat. Sol. **35**, 2, 987 (1969).
- [20] Г.А. Ахундов, С.А. Мусаев, А.Э. Бахышев, Н.М. Гасанлы, А.Г. Мусаев. ФТП **9**, 1, 142 (1975).
- [21] V.V. Panfilov, S.I. Subbotin, L.F. Vereshchagin, I.I. Ivanov, R.T. Molchanova. Phys. Stat. Sol. (b) **72**, 823 (1975).
- [22] Н.П. Гавалешко, М.В. Курик, Г.Б. Делевский, З.Д. Ковалюк, А.И. Савчук, И.Ф. Скицко. УФЖ **19**, 10, 1741 (1974).
- [23] P.C. Leung, G. Andermann, W.G. Spitzer, C.A. Mead. J. Phys. Chem. Sol. **27**, 1, 849 (1966).